

К ВОПРОСУ ОБ АДИАБАТИЧЕСКОМ ПРИБЛИЖЕНИИ В ЗАДАЧЕ РАСПРОСТРАНЕНИЯ НИЗКОЧАСТОТНОГО ЗВУКА В МЕЛКОВОДНОМ АРКТИЧЕСКОМ ВОЛНОВОДЕ СО СЛУЧАЙНО-НЕРОВНОЙ ДОННОЙ ГРАНИЦЕЙ

Гулин О.Э., Ярошук И.О.

*Тихоокеанский океанологический институт им. В.И. Ильичева, г. Владивосток
yaroshchuk@poi.dvo.ru*

В последнее десятилетие появилось немало работ, посвященных моделированию модового распространения звука в нерегулярных двух- и трехмерных волноводах, авторы которых игнорируют взаимодействие между локальными модами [1,2]. Тем самым осуществляется переход к адиабатическому приближению теории волн [3-5]. Как правило, это делается для упрощения формулировки задач, поскольку эффект межмодового взаимодействия предполагает учет дополнительных членов в уравнениях для амплитуд локальных мод, которые затрудняют вычисления и получение решения. Например, переход к адиабатическому приближению является распространенным способом сформулировать подходящим образом трехмерно-неоднородную задачу. Авторы избавляются от вертикальной координаты в исходном трехмерном уравнении, пренебрегая членами, отвечающими за взаимодействие мод, и рассматривают приближенное двумерное уравнение рефракции (уравнение Гельмгольца) для исследования волновых процессов в горизонтальной плоскости. Проблема, однако, состоит в том, что область применимости такого приближения (адиабатического) далеко не всегда позволяет установить особенности распространения, которые присущи нерегулярным волноводам, и которые обусловлены наличием в точных уравнениях отбрасываемых членов. Такое приближенное описание для волноводов с реальными параметрами зачастую приводит не только к заметным количественным ошибкам, но может и качественно изменять картину волновых явлений. В настоящей работе рассмотрено одно из таких явлений, связанное со случайной неровностью границы раздела вода – донные осадки в двумерно-неоднородном волноводе мелкого моря. Показано, что для мелкомасштабных флуктуаций батиметрии такого волновода адиабатическое приближение приводит к совершенно неверным результатам затухания интенсивности низкочастотных сигналов для случая сильно пропускающей донной гра-

ницы. При наличии отражающей границы типичной степени жесткости адиабатическое приближение более приемлемо для средней интенсивности полного поля, но дает ошибку для поля отдельных мод номеров $m > 1$.

Рассмотрим классическую аксиально-симметричную постановку задачи для уравнений акустики, описывающую распространение монохроматического сигнала частоты 250 Гц в нерегулярном волноводе мелкого моря. Волновод состоит из однородного водного слоя, характерного для морей арктического шельфа (например, Карское море [6, 7]), и толщи неконсолидированных жидких осадков, разделенных случайно-шероховатой границей H . Для функции акустического давления p справедливо уравнение следующего вида [4, 5, 8]:

$$\rho r^{-1} \frac{\partial}{\partial r} \left(r \rho^{-1} \frac{\partial p(r, z)}{\partial r} \right) + \rho \frac{\partial}{\partial z} \left(\rho^{-1} \frac{\partial p(r, z)}{\partial z} \right) + \frac{\omega^2}{c^2} p(r, z) = -\frac{\delta(r) \delta(z - z_0)}{2\pi r} \quad (1)$$

в котором (r, z) – координаты цилиндрической системы, точечный источник излучения расположен при $r = 0, z = z_0$; $c = c(r, z)$ – скорость звука, $\rho = \rho(r, z)$ – плотность. Граничные условия к (1): $p(r, 0) = 0$ (свободная поверхность), – а на донной границе раздела – непрерывность давления и нормальной к неровной границе $H(r)$ компоненты скорости частиц. Также при $z, r \rightarrow \infty$ подразумевается выполнение условий излучения. В рамках метода поперечных сечений [4,5] поле давления $p(r, z)$ для (1) можно искать с помощью разложения по локальным модам горизонтально-неоднородного волновода:

$$p(r, z) = \sum_m G_m(r) \varphi_m(r, z);$$

$$\rho \frac{\partial}{\partial z} \left[\rho^{-1} \frac{\partial \varphi_m(r, z)}{\partial z} \right] + [k^2 - \kappa_m^2(r)] \varphi_m(r, z) = 0. \quad (2)$$

В (2) $k = \omega/c(r, z)$, $\kappa_m(r)$ – собственные значения, а φ_m – собственные функции задачи Штурма-Лиувилля ($m = 1, 2, \dots$). На поверхности и дне H океана φ_m удовлетворяют следующим граничным условиям: $\varphi_m(r, 0) = 0$, $\varphi_m(r, H) + g_m(r) \varphi'_m(r, H) = 0$ ($\varphi'_m(r, H) = (\partial \varphi_m(r, z) / \partial z)|_{z=H}$). В последнем условии $g_m(r)$ характеризует импеданс проникаемого дна, а шероховатая граница $H(r)$ задается случайной функцией, в результате чего задача (1) – (2) становится стохастической. При этом ясно, что локальные моды волновода $G_m(r) \varphi_m(r, z)$ будут случайными функциями r . Заметим, что условие на границе раздела H вода – жидкие осадки соответствует непрерывности давления и вертикальной компоненты скорости моды: $\varphi_m(r, H-0) = \varphi_m(r, H+0)$, $\varphi'_m(r, H-0)/\rho(r, H-0) = \varphi'_m(r, H+0)/\rho(r, H+0)$. В то же время для

уравнения (1) должно выполняться условие непрерывности нормальной к границе компоненты скорости: $p'_n(r, H-0)/\rho(r, H-0) = p'_n(r, H+0)/\rho(r, H+0)$, $p'_n = \partial p/\partial n$, $n \perp H(r)$. В этом заключается важнейшее отличие приближенных методов анализа (адиабатического и стандартного параболического уравнения) от точного рассмотрения метода поперечных сечений [8, 9]. Приближения не учитывают разницу между вертикальной составляющей скорости на границе раздела и нормальной компонентой. В рамках метода поперечных сечений, пренебрегая обратно рассеянным полем, для модовых амплитуд $G_m(r)$ в (2) получается выражение:

$$G_m(r) = A_m(r) \exp \left\{ \int_0^r \left[ik_m(\xi) - (2a_m)^{-1} \sum_n a_n [V_{mn}(\xi) \left(\frac{\kappa_m(\xi)}{\kappa_n(\xi)} \right) - V_{nn}(\xi)] \right] d\xi \right\}, \quad (3)$$

где $a_m = \varphi_m(0, z_0) \exp[i\kappa_m(r)r]/2$, $A_m = i\varphi_m(0, z_0)[8\pi i\kappa_m(r)r]^{-1/2}$, $\kappa_m r \gg 1$. В (3)

$V(r)$ – матрица с элементами $V_{mn}(r) = \int_0^\infty \frac{\varphi_m(r, z)}{\rho(r, z)} \frac{\partial \varphi_n(r, z)}{\partial r} dz$. Форма запи-

си решения (3) удобна для аналитического рассмотрения. С точки зрения непосредственных расчетов предпочтительнее может быть матричная запись решения, приведенная в работе [9] через частную форму матрицанта. $V(r)$ и транспонированная матрица $V^T(r)$ описывают межмодовое взаимодействие из-за горизонтальных изменений, вызванных случайной неровностью донной границы H . Адиабатическое приближение игнорирует данные матрицы в решении, рассматривая лишь первый член в экспоненте (3) с флуктуирующими волновыми числами $\kappa_m(r)$. Результатом этого являются ошибки в поведении средней интенсивности звука в волноводе, представленной ниже.

Для моделирования рассматривался мелководный волновод средней глубины $\langle H(r) \rangle = 40$ м. В его водном слое $0 \leq z < H(r)$ однородные профили скорости звука $c = 1460$ м/с и плотности $\rho = 1.023$ г/см³. Дно $z \geq H(r)$ – жидкое поглощающее полупространство. Следуя данным измерений в [6, 7], задаем импеданс дна посредством плотности, $\rho_1 = 1.85$ г/см³, поглощения $\beta_1 = 0.02$ и скорости звука c_1 . Случайные неровности границы раздела вода – осадки $\delta h(r)$, $H(r) = \langle H \rangle + \delta h(r)$, полагаем гауссовым случайным процессом с экспоненциальной корреляционной функцией: $B_h(r_2 - r_1) = \sigma_h^2 \exp(-|r_2 - r_1|/L_h)$. Интенсивность флуктуаций $\sigma_h^2 = \langle (\delta h)^2 \rangle = 1$ м², а важнейший параметр L_h является характерным масштабом изменения батиметрии $H(r)$. Ниже показано влияние мелкомасштабных флуктуаций $\delta h(r)$, $L_h = 20$ м.

Статистическое моделирование интенсивности звукового поля было выполнено с использованием ансамбля из 10^3 реализаций для двух типов донных границ мелководного волновода: сильно проницаемой границы раздела, $c_1 = c = 1460$ м/с, что часто встречается на шельфе арктических морей с повышенной газонасыщенностью в донных осадках [6,7], и границы со значительной отражательной способностью, $c_1 = 1600$ м/с. В первом случае в волноводе формируются только вытекающие моды [5], для расчета учтено 6 таких мод. В случае отражающей границы моды номеров 1–6 – распространяющиеся, дополнительно к ним учитывались 3 вытекающие моды. Графики средних потерь при распространении приведены на рис. 1 и 2. Хорошо видно, что точное решение (2)–(3) для однонаправленного распространения (ОР), учитывающее межмодовое

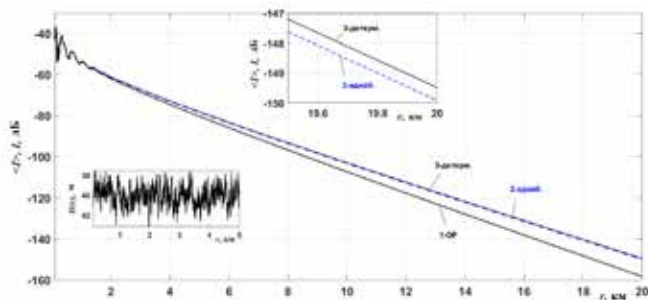


Рис. 1. Спадание средней интенсивности сигнала частоты 250 Гц в волноводе с флуктуациями пропускающей донной границы, $z_0 = z = 24$ м, $L_h = 20$ м. Кривая 1 – приближение рассеяния вперед (ОР); штриховая кривая 2 – адиабатическое приближение ($V_{mn} = 0$); кривая 3 – горизонтальная граница ($\delta h = 0$). Вставка внизу – пример неровной границы в 1-й реализации.

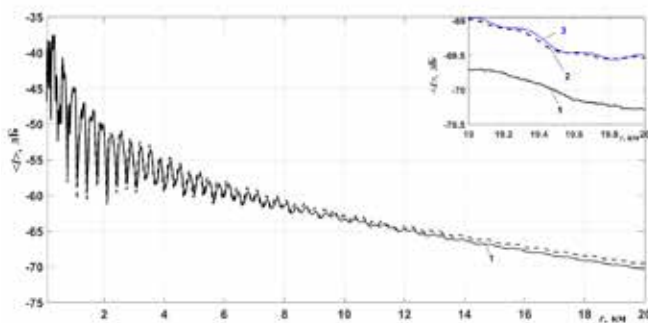


Рис. 2. Отражающая неровная граница. Кривые аналогичны приведенным на рис. 1: 1 – ОР, 2 – «адиабатика», 3 – $\delta h = 0$.

взаимодействие, весьма сильно расходится с адиабатическим приближением. Последнее, в свою очередь, с точностью до десятых долей децибела совпадает с детерминированным случаем невозмущенного волновода, $\delta h(r) = 0$, то есть «адиабатика» практически не дает верного описания энергетической структуры поля в волноводе с неровным дном (сравни кривые 1 и 2 на рисунках). Этот факт имеет место, как для сильно пропускающей донной границы (рис. 1), так и, в значительно меньшей степени, в случае отражающей (жесткой) границы (рис. 2). Таким образом, для волноводов с неровными границами использование адиабатического приближения может быть оправдано только в тех случаях, когда взаимодействием мод можно пренебречь. Для этого необходимы либо малые, либо крупномасштабные возмущения границы волновода [9].

Работа выполнена в рамках государственного задания по теме «Изучение фундаментальных основ возникновения, развития, трансформации и взаимодействия гидроакустических, гидрофизических и геофизических полей Мирового океана», номер гос. регистрации: ААА-А-А20-120021990003-3.

Литература

1. Petrov P.S., Prants S.V., Petrova T.N. Analytical Lie-algebraic solution of a 3D sound propagation problem in the ocean // *Physics Letters A*. 2017. V. 381. P. 1921–1925.
2. Lunkov A., Sidorov D., Petnikov V. Horizontal refraction of acoustic waves in shallow-water waveguides due to an inhomogeneous bottom structure // *J. Mar. Sci. Eng.* 2021. V. 9. 1269.
3. Pierce A. D. Extension of the method of normal modes to sound propagation in an almost-stratified medium // *The Journal of the Acoustical Society of America*. 1965. V. 37. No. 1. P. 19–27.
4. Бреховских Л.М., Лысанов Ю.П. Теоретические основы акустики океана. Л.: Гидрометеиздат. 1982.
5. Jensen F.B., Kuperman W.A., Porter M.B., Schmidt H. *Computational Ocean Acoustics*. Springer: New York, USA; Dordrecht, The Netherlands; Heidelberg, Germany; London, UK, 2011.
6. Григорьев В.А., Петников В.Г., Росляков А.Г., Терехина Я.Е. Распространение звука в мелком море с неоднородным газонасыщенным дном // *Акуст. журн.* 2018. Т. 64. № 3. С. 342–358.
7. Яшин Д.С., Ким Б.И. Геохимические признаки нефтегазоносности Восточно-Арктического шельфа России // *Геология нефти и газа*. 2007. Т. 4. С. 25-29.
8. Бреховских Л.М., Годин О.А. Звуковые поля в слоистых и трехмерно-неоднородных средах. Акустика неоднородных сред. 2009. Т. 2. М.: Наука.
9. Gulin O.E., Yaroshchuk I.O. On average losses of low-frequency sound in a two-dimensional shallow-water random waveguide // *J. Mar. Sci. Eng.* 2022. V. 10 (6). 822.